

تعیین عدم ارتباط نفت باقیمانده (بیتومن) موجود در سازند کنگان با گاز و میغانات گازی این مخزن (میدان پارس جنوبی)

علیرضا رجبی هرسینی*

دانشگاه آزاد اسلامی، واحد تهران شمال، تهران، ایران.

تاریخ پذیرش: ۱۳۸۷/۰۹/۲۹

چکیده

شیل های سیلورین (سازند سرچاهان) با حجم بالای مواد آلی، اصلی ترین سنگ منشأ مخازن گروه دهم (سازند های کنگان و دلان) در میدان گازی پارس جنوبی (واقع در آب های خلیج فارس) هستند. در بررسی روی مغزهای حفاری تهیه شده از دو چاه، در بخش هایی از سازند کنگان در میدان یاد شده، آثار هیدروکربوری (بقایای نفت مرده و بیتومن) دیده شد. در پاره ای از گزارش های قدیمی، به سنگ منشأ بودن رسوبات تریاس زیرین (سازند کنگان) اشاره شده است؛ به عبارتی، گفته می شد که سازند کنگان در تولید محتویات مخزنی (گازها و کاندنسیت ها) نقش داشته است. مطالعه اخیر در قالب شناخت و بررسی ویژگی های ژئوشیمیایی آثار هیدروکربوری (قیر و مواد آسفالتی) موجود در سازند کنگان (نه محتویات مخزنی) نشان می دهد، هیدروکربورهای یاد شده از میان لایه هایی با ترکیب شیلی و شیلی-آهکی در بخش هایی از سازند کنگان تولید شده اند، اما چون فاقد مقدار مواد آلی لازم برای تولید در حجم عظیم هیدروکربور بوده و در ضمن از نظر بلوغ، نمونه های بررسی شده در اوآخر دیازن-اوایل کاتاژن (شروع پنجه تولید نفت) هستند، به نظر می رسد که ارتباطی با هیدروکربورهای تولیدی از شیل های سیلورین ندارند.

کلیدواژه ها: سازند سرچاهان، سازند کنگان، نفت باقیمانده (مرده)، محتویات مخزنی، ویژگی های ژئوشیمیایی.

E-mail: alirezarajabi39@yahoo.com

۱- مقدمه

زیرین با ترکیب کربناتی (در بخش زیرین) و شیلی (بخش بالایی) و ژرفای میانگین ۲۰ متر به طور فرسایشی و هم شبیب بر روی سازند دلان قرار گرفته است. بین سازند های کنگان و دلان انفصل هیدرولیکی وجود ندارد و این دو سازند اغلب یک واحد مخزنی واحد را تشکیل می دهند (شکل ۲). لازم به یاد آوری است که سازند کنگان از نظر مخزنی به دو بخش K_1 (در بالا) و K_2 (در پایین) بیز تقسیم بندی شده است.

۴- تحقیقات پیشین و روش کار

در این طرح مطالعاتی به منظور تعیین ویژگی های ژئوشیمیایی محتویات مخزنی (گازها و میغانات گازی) و همچنین بررسی و ارزیابی روی آثار هیدروکربوری موجود در سازند کنگان، مطالعات جامعی از دیدگاه ژئوشیمیایی صورت گرفت. بررسی ایزوتوپی کربن روی محتویات مخزنی توسط آلتی (۱۳۸۵) صورت گرفت. نامبرده براساس مطالعات روی نمونه های گازی سرچاه طی حفاری و نمونه های سیالی به دست آمد که از تست ساقه منته، به منشأیابی گازهای طبیعی تجمع یافته در سازند های کنگان و دلان، تعیین درجه بلوغ سنگ منشأ تولید کننده و نوع کروزن آن و در نهایت رسم تاریخچه تدفین و زمان تولید گاز پرداخته است.

طرح حاضر به مطالعه آثار هیدروکربوری موجود در مغزهای تهیه شده از سازند کنگان و بررسی های ژئوشیمیایی تعدادی نمونه به منظور منشأیابی، تعیین درجه بلوغ نمونه ها و نوع کروزن آنها، کیفیت هیدروکربوری و درجه بندی سنگ مولد احتمالی، تعیین پتانسیل هیدروکربوری احتمالی، تعیین سن نمونه ها و ... پرداخته است که برای این منظور از روش های ژئوشیمیایی ذیل استفاده شده است:

۱- تجزیه پیرولیز راک-اول

۲- روش های تجزیه شیمیایی (شامل: استخراج بیتومن و جداسازی گروه های تشکیل دهنده آن، روش کروماتوگرافی گازی و روش کروماتوگرافی گازی-طیف سنجی جرمی)

۳- بررسی های ایزوتوپی روی برش های آسفالتی جداسازی شده از بیتومن

محتمل ترین منشأ برای اباشت های گازی مخازن دهم در میدان پارس جنوبی، مهاجرت جانی گاز از سنگ منشأ سیلورین (سازند سرچاهان) معرفی شده است (Aali et al., 2006). در مغزه های حفاری تهیه شده از دو چاه در سازند کنگان در میدان یاد شده، هیدروکربورهای سنتگینی دیده می شود که در این نوشتار درباره منشأ، ارتباط یا نبود ارتباط آنها با محتویات مخزنی (گازها و کاندنسیت ها) بحث می شود. در میدان پارس جنوبی، دسترسی به شیل های سرچاهان وجود ندارد، چرا که ژرف ترین چاه حفاری شده در این میدان تنها ۱۹ متر از سازند فراقون (رسوبات آواری پرمین زیرین) را حفاری کرده است. شیل های سرچاهان تنها در کوه فراقون از دیدگاه ژئوشیمی مطالعه شده اند، که نتایج حاصل از تجزیه پیرولیز راک-اول نمونه ها در نموادر ۱ ارائه شده است (Kamali and Rezaee, 2003).

۲- جایگاه میدان پارس جنوبی

میدان گازی پارس جنوبی، یکی از بزرگ ترین منابع گازی جهان است که بر روی خط مزدی مشترک ایران و قطر، در خلیج فارس قرار دارد و یکی از اصلی ترین منابع انرژی کشور به شمار می رود. مساحت این میدان ۹۷۰۰ کیلومتر مربع است که سهم متعلق به ایران ۳۷۰۰ کیلومتر مربع وسعت دارد. ذخیره گاز این بخش از میدان ۱۴ تریلیون تن متر مکعب گاز به همراه ۱۸ میلیارد بشکه میغانات گازی است که حدود ۸٪ از کل گاز دنیا و نزدیک به نیمی از ذخایر گاز کشور را شامل می شود. هم اکنون برنامه ریزی های دقیق و کارشناسانه ای به منظور توسعه ۲۴ فاز برای تولید ۸۲ میلیون متر مکعب گاز در روز از این میدان صورت گرفته است (شکل ۱).

۳- بررسی وضعیت چینه شناسی منطقه

شیل های قهوه ای تا سیاه رنگ غنی از مواد آلی و دارای زیای گرایپوتیتی سیلورین پیشین (سازند سرچاهان)، اصلی ترین سنگ منشأ منابع گازی در توالی های پالکنوژوییک و تریاس است (Virgone and Murat, 1999).

ژئوشیمیابی اخیر، زمانهای مهاجرت هیدروکربورها باید از کرتاسه میانی به بعد، صورت گرفته باشد. برای نمونه‌های گازی پارس جنوبی، مهاجرت هیدروکربورها از ۸۵ میلیون سال پیش شروع و تا ۴۰ میلیون سال قبل ادامه داشته است (یعنی از زمان کرتاسه پیش تا انتهای ائوسن). این زمان بر زمان تولید هیدروکربور از سنگ منشأ سیلورین که براساس مطالعات ژئوشیمی به دست آمده است، منطبق است (e.g. Bordenave, 2002).

۲-۴. بروسی آثار هیدروکربوری گرفته شده از مغزه‌های چاههای A و B از سازند کنگان در میدان پارس جنوبی

پس از آماده سازی نمونه‌های گرفته شده از مغزه‌های حفاری (Cores) چاههای A و B (مربوط به سازند کنگان در میدان پارس جنوبی) و پاک‌سازی از هر نوع آلودگی، با استفاده از روش‌های ژئوشیمیابی شامل روش‌های پیرولیزی، شیمیابی و ایزوتوپی، آثار هیدروکربورهای موجود در خمیره سازند کنگان به منظور تعیین درجه بلوغ سنگ منشأ و نوع کروزن احتمالی آن، پتانسیل هیدروکربوری سنگ مولد، کیفیت هیدروکربوری، بررسی شرایط و نوع محیط رسوبگذاری مواد آلی و سنگ‌شناسی سنگ مولد هیدروکربورها، تعیین سن نمونه‌ها... مواد ارزیابی‌های ژئوشیمیابی قرار گرفتند. در روش پیرولیز که یک روش حرارتی است و از دستگاه راک- اول استفاده شده از سنگی بود رشد، خارج شده و از نظره نظر کیفی و کمی مورد ارزیابی قرار می‌گیرند. در پیوست ۱، نتایج حاصل از تجزیه پیرولیز راک- اول نمونه‌های تهیه شده از مغزه‌های حفاری چاههای A و B را شده است.

روش‌های شیمیابی یکی از بهترین روش‌ها برای ارزیابی مواد آلی موجود در سنگ منشأ و شناسایی اجزای گروه‌های مشکله بیتومن (با برخی حالات) توسط ماده آلی قابل حل بیتومن (با آسیاب کردن نمونه و استفاده از حلالت مناسب) توسط روش سوکسله، جداسازی گروه‌های مشکله بیتومن (با برخی حالات) توسط روش کروماتوگرافی ستونی و در نهایت تجزیه‌های مولکولی توسط روش‌های کروماتوگرافی گازی (Gas chromatography) و کروماتوگرافی گازی- طیف‌سنگی جرمی (Gas chromatography- Mass Spectrometry) هستند. امروزه توسط روش کروماتوگرافی گازی می‌توان به بررسی توزیع آلکان‌های نرم‌ال و ایزوپریونیدهای و با کروماتوگرافی گازی- طیف‌سنگی جرمی به مطالعه بیومارکرهای، تعیین درجه پختگی ماده آلی یا نفت و تطابق پرداخت. در پیوست ۱، نتایج حاصل از تجزیه‌های شیمیابی (درصد ترکیبات جداسازی شده از بیتومن، نتایج حاصل از کروماتوگرام‌های ترکیبات اشباع و نتایج حاصل از روش GC-MS) برای بیومارکرهای استرانی و هوپانی) نمونه‌های تهیه شده از مغزه‌های حفاری چاههای A و B ارائه شده است. در پیوست ۲، طیف‌های حاصل از روش کروماتوگرافی گازی ترکیبات اشباع، همچنین طیف‌های به دست آمده از کروماتوگرافی گازی- طیف‌سنگی جرمی بیومارکرهای هوپانی (هوپانوگرام $m/z = 191$) و بیومارکرهای استرانی (استرانوگرام $m/z = 217$) از هر چاه یک طیف به عنوان نمونه ارائه شده است.

از روش‌های ایزوتوپی، بویژه استفاده از ایزوتوپ‌های پایدار کربن که امروزه در علم ژئوشیمی به منظور تعیین سن، تطابق هیدروکربن‌ها جایگاه خاصی پیدا کرده است (Sofer, 1984; Chung et al., 1992) نیز در این طرح مطالعاتی استفاده شده است. در پیوست ۱، مقادیر ایزوتوپی کربن ^{13}C در این طرح مطالعاتی اتفاقاً نمونه‌های تهیه شده از مغزه‌های حفاری چاههای تحت مطالعه ارائه شده است.

-**تعیین درجه بلوغ سنگ منشأ احتمالی و نوع کروزن آن:** در بررسی‌های انجام شده توسط تجزیه‌های پیرولیز راک- اول و همچنین کروماتوگرافی گازی (GC)، به نظر می‌رسد

در نهایت این طرح مطالعاتی قادر خواهد بود به سؤالات و ابهامات ذیل پاسخ دهد:

- ۱- آیا بین آثار هیدروکربوری موجود در خمیره (ماتریکس) سازند کنگان با محتويات مخزنی (گاز و میغانات) ارتباطی وجود دارد؟ و آیا همگی از یک سنگ منشأ واحد تولید شده‌اند؟

۲- آیا میان لایه‌های شیلی یا شیلی- آهکی موجود در سازند کنگان در تولید محتويات مخزنی دخالت داشته‌اند؟

۳- آیا مجموعه محتويات مخزنی همراه با آثار بیتومن‌های سنگین موجود در سازند کنگان، از شیل‌های سیلورین پیشین (سازند سرچاهان) تولید شده‌اند و همگی ضمن مهاجرت، وارد سازند کنگان شده‌اند؟

۴- بروسی محتويات گازی سازند کنگان

به استفاده مطالعات انجام شده به منظور تعیین ترکیب شیمیابی و ایزوتوپی کربن توسط آلی (۱۳۸۵)، روی نمونه‌های گاز سرچاه (Head Space Gas Samples) (طی حفاری چاه C و همچنین نمونه‌های گازی دیگر از سیال به دست آمده از تست ساقه مته در همان چاه، در سازند‌های کنگان و دالان در میدان گازی پارس جنوبی، می‌توان در مورد منشأ گاز طبیعی، ویژگی‌های سنگ منشأ و نیز تاریخچه تدفین و زمان تولید گاز بحث کرد.

-**منشأ گاز طبیعی موجود در مخازن کنگان و دالان:** با استفاده از ترکیب ایزوتوپی اجزای تشکیل‌دهنده گاز طبیعی، می‌توان منشأ آن را تعیین نمود (Chung et al., 1988). نمودار مقادیر ایزوتوپی ^{13}C متان در برابر ترشوندگی گاز (نسبت $\text{C}_1/\text{C}_2 + \text{C}_3$) که برای اولین بار توسط Bernard et al. (1978) پیشنهاد شد، منشأ ترموزنیک را برای هیدروکربورهای گازی میدان گازی پارس جنوبی تأیید می‌کند (آلی، ۱۳۸۵)، و به نظر می‌رسد فرایندهای ثانویه مانند تجزیه باکتریابی و... هیدروکربورهای گازی میدان را تحت تأثیر قرار نداده است (نمودار ۲).

-**تعیین درجه بلوغ سنگ منشأ و نوع کروزن آن:** با استفاده از نمودار پیشنهاد شده توسط (Berner and Faber, 1996) که از مقادیر ایزوتوپی ^{13}C متان در برابر ^{13}C اتان توافق شود، می‌توان درجه بلوغ و نوع کروزن سنگ منشأ تولید کننده هیدروکربور را بررسی کرد. بر این اساس، به نظر می‌رسد که گازهای میدان گازی پارس جنوبی از یک سنگ منشأ با درجه بلوغ معادل انعکاس ویترینایت ۱/۵٪ (در پنجره گازازی) و کروزن نوع II (و اندکی III) تولید شده‌اند (آلی، ۱۳۸۵).

-**تا ریخچه تدفین و زمان تولید گاز:** مدل تاریخچه تدفین برای چاه SP-1 توسط نرمافزار Winbury (نسخه ۲/۷۷) (نمودار ۴)، نشان می‌دهد که شیل‌های سیلورین در ناحیه پارس جنوبی در انتهای پنجره نفت‌زایی و در ابتدای پنجره گازازی قرار گرفته‌اند (Ro = ۱/۵٪) (آلی، ۱۳۸۵). مدل ژئوشیمیابی اخیر نشان داده است که آغاز تولید نفت در زمان ژوراسیک میانی و آغاز گازازی در کرتاسه میانی بوده است (Bordenave, 2002; Bordenave and Burwood, 1990; Milner, 1998).

با شروع پنجره گازازی، پختگی و تجزیه حرارتی مواد آلی موجود در سنگ منشأ سیلورین، منجر به تشکیل انباسته‌های گازی شده است (Bordenave, 2002; Bordenave and Mahmud at al., 1992). مطالعات اخیر براساس نمودار ژرفای تدفین رسوبات در پارس جنوبی نشان داده که در ناحیه بالا-آمدگی قطره- پارس جنوبی، رسوبات قدیمی تر از برمین (Boomer Shil) های سیلورین در انتهای ژوراسیک نابالغ بوده است. در پی بالا-آمدگی ناحیه قطره- پارس جنوبی، این رسوبات در نواحی ژرف حوضه (احتمالاً در عمان)، به مرحله نفت‌زایی رسیده و در اوخر کرتاسه مرحله گازازی را شروع نموده و این گازها توانسته به افق‌های بالاتر (کنگان و دالان) مهاجرت نمایند (Aali et al., 2006).

با فرض پذیرش کراکینگ نفت به عنوان منشأ تمامی یا بخشی از گاز میدان پارس

جنوبی، براساس ترکیب ایزوتوپی کربن، ا atan ($\delta^{13}\text{C}_\text{P}$) زمان کراکینگ نفت را بین

۱۵ تا ۲۰ میلیون سال پیش (میونس) برآورد کرده‌اند. براساس مطالعات مدل‌سازی

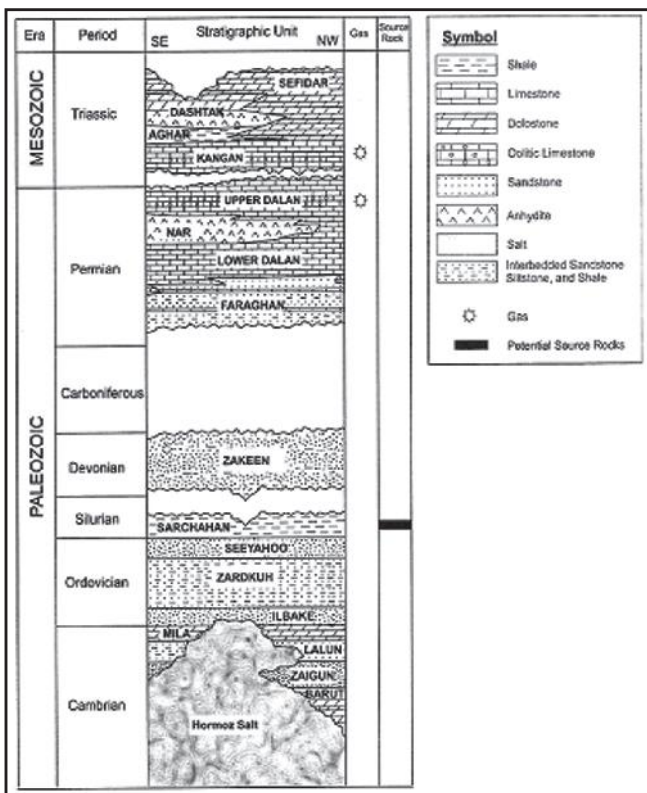
بین می‌رود. از نظر پتانسیل هیدروکربوری پایین و بلوغ پایین نمونه‌های برسی شده، به نظر می‌رسد بخش‌های یاد شده در بالا در سازند کنگان در تولید هیدروکربور و همچنین محتویات مخزنی در حجم عظیم و اقتصادی، نقش اساسی نداشته است و سازند کنگان به صورت سنگ مادر با پتانسیل، در این میدان فعال نبوده است.

سپاسگزاری

از شرکت نفت و گاز پارس به دلیل حمایت‌های مادی و معنوی این طرح مطالعاتی تشکر و قدردانی می‌شود.



شکل ۱- موقعیت میدان گازی پارس جنوبی در آب‌های خلیج فارس بین طول‌های خاوری^{۵۰} و عرض‌های شمالی^{۴۰} تا^{۲۶} و فاصله‌ای^{۲۵} تا^{۲۷} و فاصله‌ای^{۲۴} که آن (www.petropars.com) است.



شکل ۲- ستون چینه‌شناسی توالی‌های رسوبی پالئوزویک تا تریاس زیرین در ناحیه خلیج فارس (Konert et al., 2001; Virgome and Murat, 1999). در شکل بالا باید به خاطر داشت که سازند زاکین در برگیرنده دو اشکوب نهایی دونین است.

میزان پختگی کروزن این سنگ مادر احتمالی (میان لایه‌های شیلی-آهکی موجود در بخش‌های از سازند کنگان) براساس پارامتر T_{max} (نمودار ۵)، همچنین بر پایه نسبت‌های استرانهای^{۲۹} C_{29} که محدوده $0/4$ تا $0/0$ را نشان می‌دهد (نمودار ۷)، انتها دیاژنز و ابتدای کاتازن را به نمایش می‌گذارد. کروزن نوع II و III با مقادیر نسبت‌های پریستان و فیتان در برابر آلکان‌های نرمال^{۱۷} C_{17} و نیز از ویژگی‌های سنگ مادر یاد شده است (نمودار ۶).

به کمک تجزیه‌های پیروزی راک-اول، کرومتوگرافی گازی (GC) و کرومتوگرافی گازی-طیف‌سنجی جرمی (GC-MS)، مشخص شد که نمونه‌های تحت مطالعه از نظر درجه بلوغ (پختگی) در محدوده شروع پنجره تولید نفت (اوخر دیاژنز- اویل کاتازن) هستند (نمودارهای ۵ و ۷).

- تعیین پتانسیل هیدروکربوری سنگ مولد احتمالی: چون مقدار TOC نمونه‌ها براساس نتایج حاصل از تجزیه پیروزی راک-اول کمتر از ۱ بوده و پتانسیل ژنتیکی آنها کمتر از ۵ است، بنابراین می‌توان گفت میان لایه‌های تولید کننده هیدروکربوری در سازند کنگان، از نظر درجه‌بندی غنای کربن آلی ضعیف تا متوسط و از نظر توان هیدروکربوری نیز چنین وضعیتی دارند (نمودار ۸) و به نظر می‌رسد چنین سنگ مادری توان بالایی برای تولید هیدروکربور از دیدگاه‌های اقتصادی را نداشته باشد.

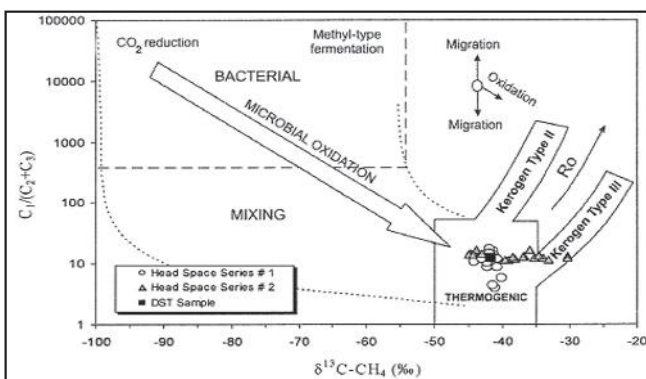
- کیفیت هیدروکربوری: پس از تفکیک یک بیتمن از نمونه و سپس رسوب دادن آسفالت، و انجام کرومتوگرافی ستونی و تعیین درصد برش‌های مختلف اشیاع، آروماتیک، رزین و آسفالت، مشخص شد که آثار و بقایای مواد هیدروکربوری موجود در مغذه‌های نمونه‌های مطالعه شده براساس توزیع ترکیبات اشیاع، آروماتیک و قطبی، ویژگی‌های پارافینیک-نفتینیک را نشان می‌دهد (نمودار ۹).

- وضعیت محیط رسوگذاری نمونه‌ها و سنگ‌شناسی سنگ مولد آنها: بررسی روی نتایج حاصل از روش‌های کرومتوگرافی گازی و کرومتوگرافی گازی-طیف‌سنجی جرمی نشان می‌دهد که نمونه‌های بررسی شده، در محیطی با شرایط کاهیده-نیمه کاهیده نهشته شده‌اند و نوع سنگ‌شناسی مولد احتمالی آنها آواری-کمی کربناتی بوده است (میان لایه‌های شیلی-آهکی سازند کنگان) (نمودار ۱۰). همچنین مشاهده ماد آلی نمونه‌ها براساس غلظت‌های استرانهای^{۲۹} C_{29} تا^{۲۷} از نوع دریابی با اندکی (Biodegradation) و پدیده تخریب حیاتی در آنها دیده نمی‌شود (نمودار ۶).

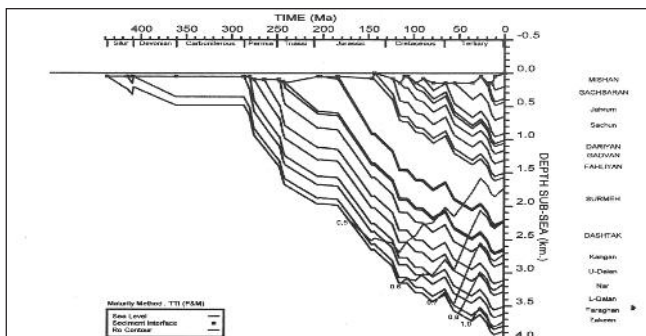
- سن نمونه‌ها: عدم مشاهده بیومار کر اولنان (Oleanane) در هوپانوگرام‌های نمونه‌ها، سن مواد آلی حاصل از سنگ مولد قدیمی تراز کرتاسه را مشخص می‌کند. بررسی نتایج حاصل از تجزیه‌های ایزوتوپی^{۱۳} C روی برش آسفالت نمونه‌ها که محدوده از ۲۷-۲۸ تا ۲۸-۲۹ (‰) را نشان می‌دهد و همچنین میزان بلوغ کروزن سنگ مادر احتمالی در ابتدای پنجره نفت‌زاپی را نشان می‌دهد، ویژگی‌هایی مطابق با سن اویل مزوژویک (تریاس زیرین) برای نمونه‌های مطالعه شده را به نمایش می‌گذارد (نمودار ۱۲).

۵- نتیجه‌گیری

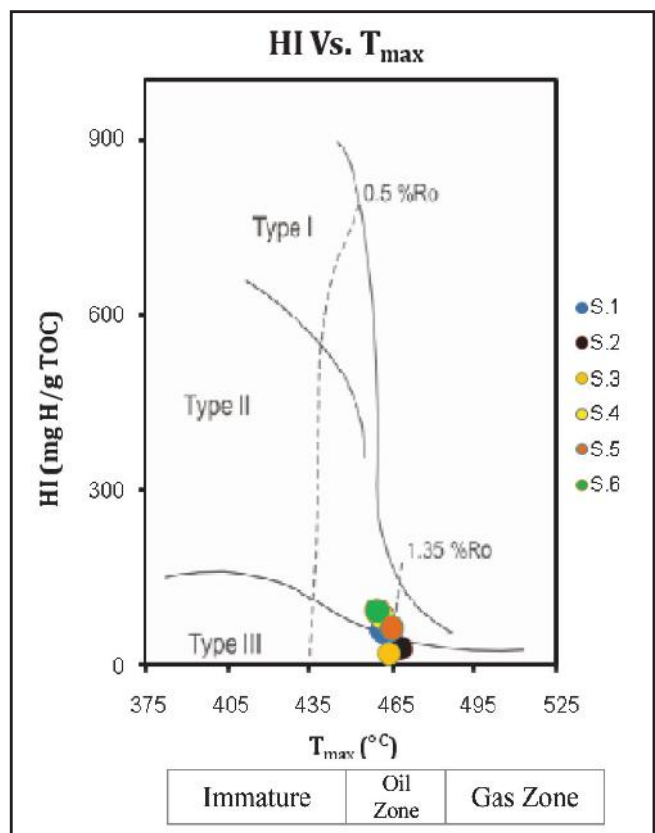
به استناد مطالعات پیشین، شیل‌های سیلورین زیرین (سازند سرچاهان) سنگ منشأ مستعد مخازن گروه دهرم در میدان پارس جنوبی است. بررسی آثار هیدروکربورهای موجود در سازند کنگان نشان می‌دهد که از نظر سنی (تریاس زیرین)، درجه بلوغ (شروع پنجره نفت‌زاپی)، سنگ‌شناسی و وضعیت محیط رسوگذاری سنگ مولد، به ظاهر با هیدروکربورهای گازی مهاجرت شده به مخازن دهرم (محوتیات مخزنی)، ارتباطی ندارند، و هیدروکربورهای بررسی شده (نه محوتیات مخزنی) از میان لایه‌هایی با ترکیب شیلی و شیلی-آهکی موجود در بخش‌هایی از سازند کنگان (بویژه بخش بالای کنگان و بخش K) تولید شده‌اند؛ که از سبرای این میان لایه‌ها، از ایران به سمت مرز مشترک ایران- قطر به تدریج کم می‌شود و در مرز مشترک ایران با قطر، از



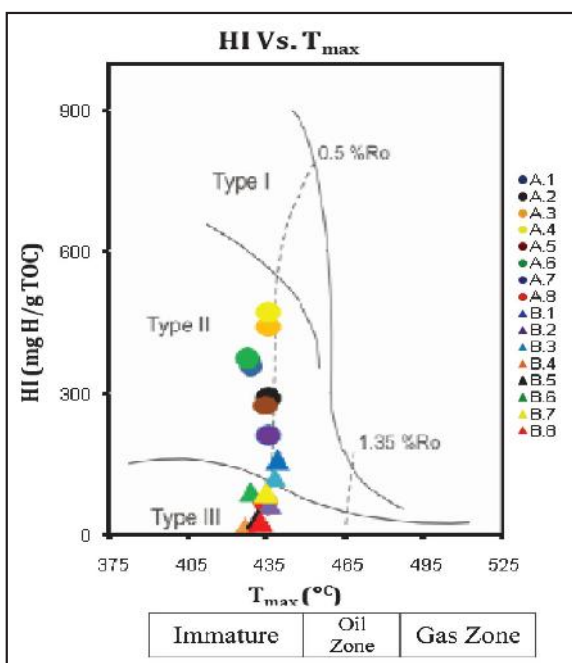
نمودار-۲- نمودار مقادیر $\delta^{13}\text{C}$ -متان در برابر ترشوندگی گاز (نسبت C_1/C_2+C_3) (پیشنهاد شده توسط Bernard et al., 1978) رسم شده برای نمونه های گازی سرچاه و تست ساقه متده در میدان پارس جنوبی (آلی، ۱۳۸۵).



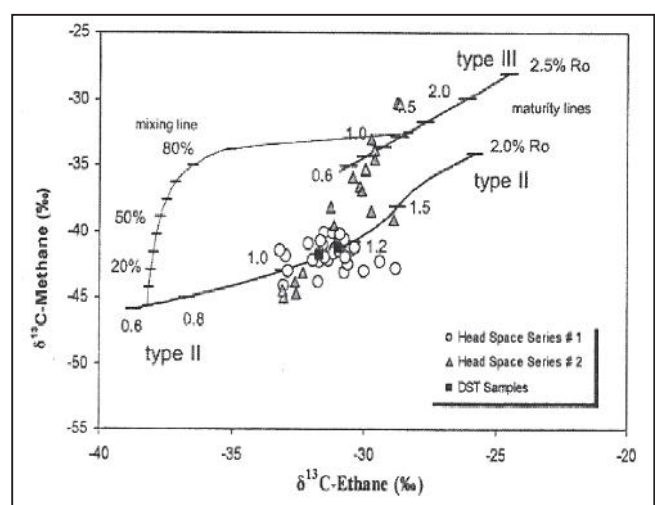
نمودار-۴- نمودار تاریخچه تدفین رسم شده برای چاه SP-1 میدان گازی پارس جنوبی (Aali et al., 2006)



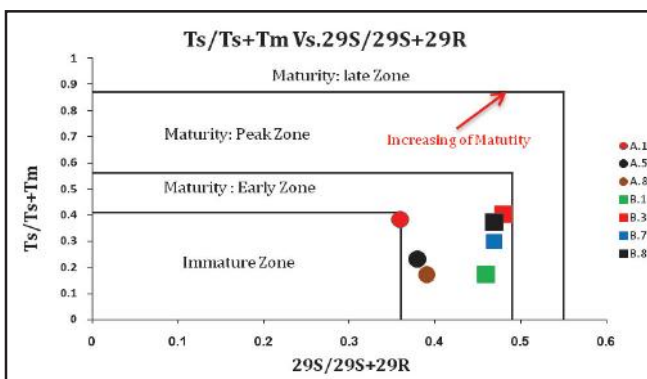
نمودار-۱- نمودار شاخص هیدروژن (HI) در برابر درجه حرارت بیشینه (T_{\max}) (اقتباس شده از Hunt, 1996) برای شیل های سرچاهان در کوه فراقون: نوع کروزن: $R_o = 1/35$, III+II, بالغ، خیلی بالغ



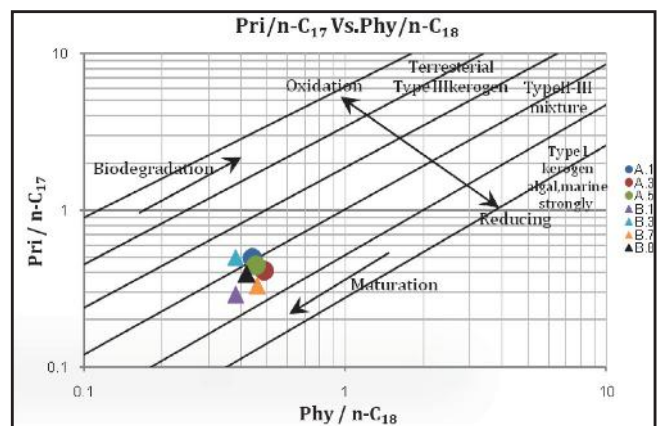
نمودار-۵- نمودار شاخص هیدروژن (HI) در برابر T_{\max} (درجه حرارت بیشینه) (اقتباس شده از Hunt, 1996) برای داده های به دست آمده از تجزیه پیرو لیزر اک-اول نمونه های چاه های A و B



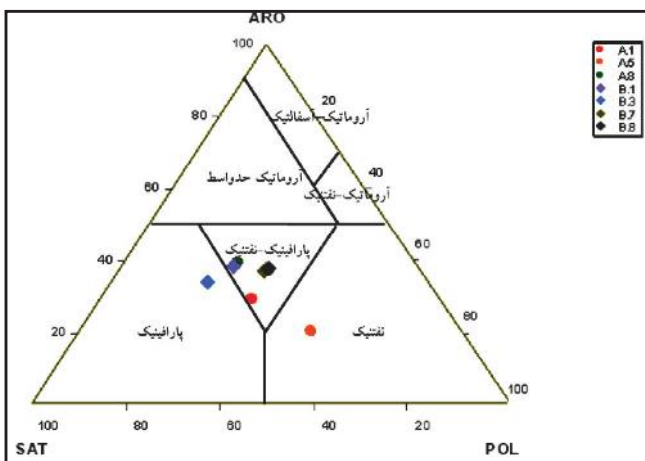
نمودار-۳- نمودار مقادیر ایزوتوپی $\delta^{13}\text{C}$ -متان در برابر $\delta^{13}\text{C}$ -اثان (پیشنهاد شده توسط Berner and Faber, 1996) برای نمونه های گازی تجزیه شده از میدان پارس جنوبی به منظور تعیین درجه بلوغ و نوع کروزن سنگ منشأ (آلی، ۱۳۸۵).



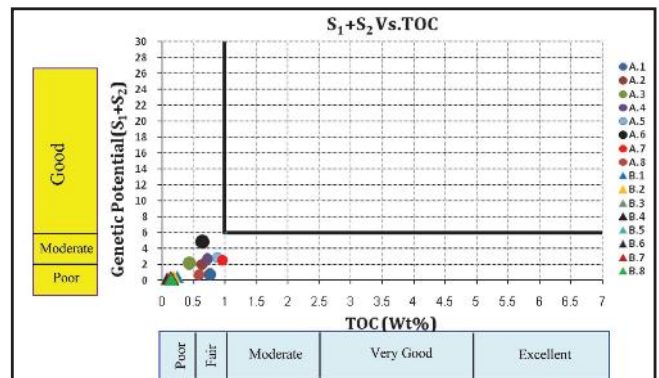
نمودار ۷- نمودار نسبت $Ts/Ts+Tm$ هوپانها در برابر $29S/29S+29R$ استرانها (اقتباس شده از Peters and Moldowan, 1993) برای نمونه‌های حاصل از تجزیه کروماتوگرافی گازی-طیف سنجی جرمی چاههای A و B



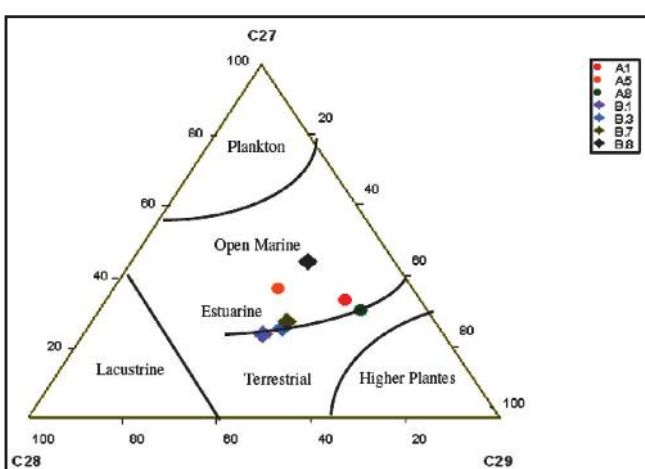
نمودار ۶- نمودار نسبت $Pristane/n-C_{17}$ در برابر $Phytane/n-C_{18}$ برای نمونه‌های حاصل از تجزیه کروماتوگرافی گازی چاههای A و B



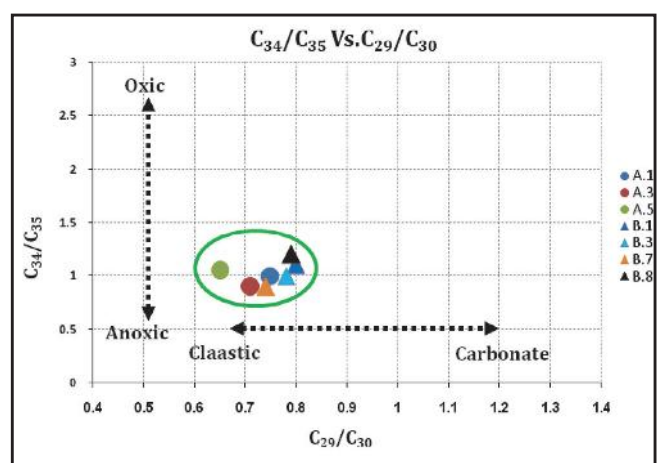
نمودار ۹- نمودار مثلثی پیشنهاد شده توسط Tissot and Welte (1984) برای اجزای جداسازی شده از بیتوم به منظور تعیین کیفیت هیدروکربوری، هیدروکربورهای تحت مطالعه



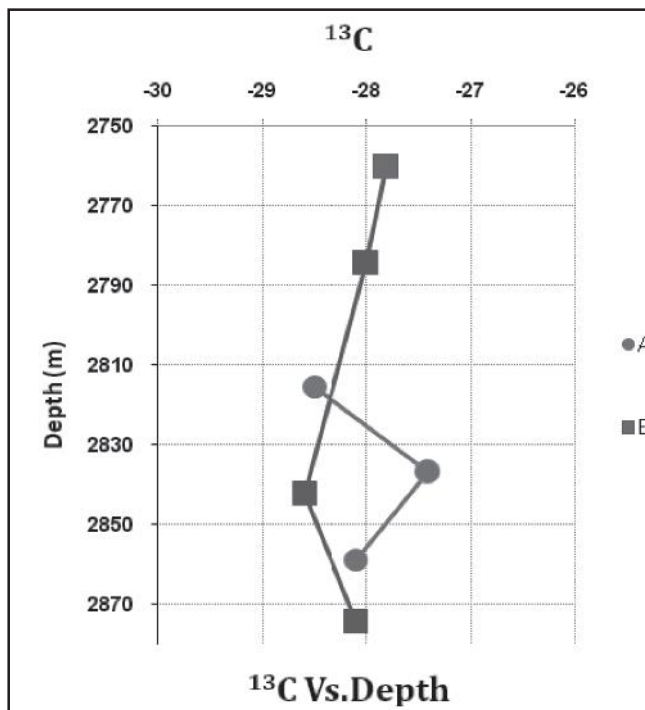
نمودار ۸- نمودار پتانسیل ژنتیکی (S_1+S_2) در برابر TOC (کربن آلی کل) برای داده‌های به دست آمده از تجزیه پیروزی راک-اول نمونه‌های چاههای A و B



نمودار ۱۱- نمودار مثلثی استرانهای منظم ($m/z=217$) پیشنهاد شده به وسیله Hung and Meinschein (1979) برای داده‌های حاصل از تجزیه کروماتوگرافی گازی-طیف سنجی جرمی نمونه‌های چاههای A و B



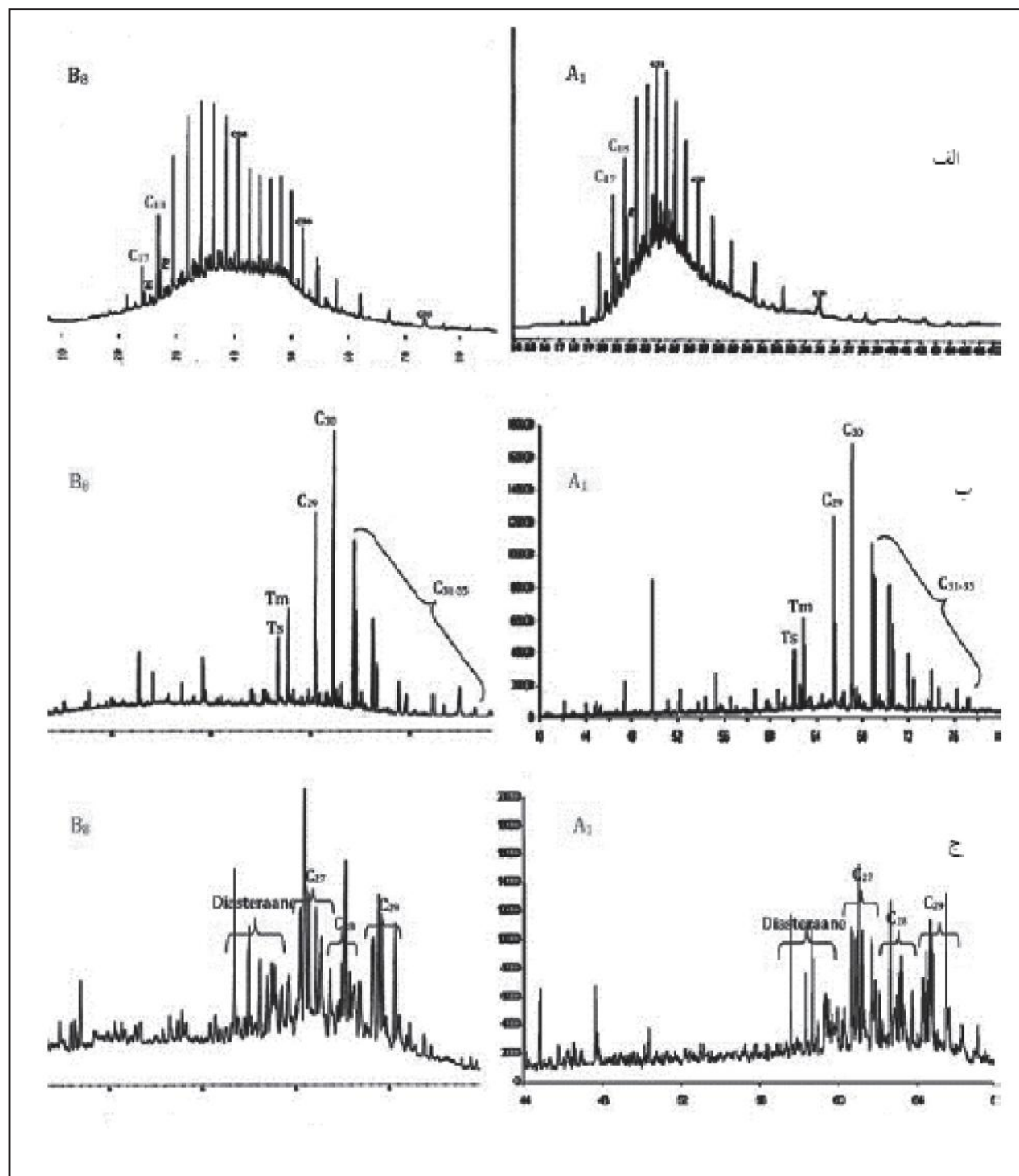
نمودار ۱۰- نمودار نسبت C_{34}/C_{35} Homohopane در برابر C_{29}/C_{30} (اقتباس شده از Peters and Moldowan, 1993) برای نمونه‌های حاصل از تجزیه کروماتوگرافی گازی-طیف سنجی جرمی چاههای A و B



نمودار ۱۲- مقادیر ایزوتوبی C^{13} نسبت به ژرفای روی نمودار (اقتباس شده از Sofer, 1984 ;Chung et al., 1992) برای داده های حاصل از تجزیه ایزوتوبی روی برش های آسفالت نمونه های جاهای A و B

شماره نمونه	ژرفای	پیرو لیزر راک-اول						برش های جداسازی شده از بیتومن (%)			کروماتو گرافی گازی (GC) برش های اشیاع			(GC-MS) طیف سنج حرمی (GC-MS) بیمار کری						$\delta^{13}C / \text{‰}$			
		S_1	S_2	S_3	HII	T_{\max}	OI	TOC %	ابتغ	آرد و زیک	رذین	آسفالت	Pri/Phy	Pri/n-C ₁₇	Phy/n-C ₁₈	C_{29}/C_{30}	C_{34}/C_{35}	Ts/Ts+Tm	%C27	%C28	%C29	S/S+R	
A.1	۲۸۱۵/۴	۱/۱۶	۲/۶۸	۰/۲۵	۳۵۳	۴۲۹	۳۳	۰/۷۶	۳۸/۸۷	۲۹/۰۹	۲۲/۰۴	۸/۷۴	۰/۹۹	۰/۴۹	۰/۴۴	۰/۷۵	۱	۰/۳۸	۳۲/۷۷	۱۶/۵۴	۵۰/۶۹	۰/۳۶	-۲۸/۵
A.2	۲۸۲۵	۰/۱۶	۱/۸۶	۰/۵۷	۲۸۶	۴۳۶	۸۸	۰/۹۵															
A.3	۲۸۲۸	۰/۱۲	۱/۹۷	۰/۱۶	۴۳۸	۴۳۶	۳۶	۰/۴۵															
A.4	۲۸۳۱/۳	۰/۲۳	۲/۳۹	۰/۲۷	۴۷۱	۴۳۶	۳۸	۰/۷۲															
A.5	۲۸۳۷	۰/۵۳	۲/۳۴	۰/۵۷	۲۷۳	۴۳۵	۳۱	۰/۸۸	۳۰/۷۲	۲۰/۱۸	۳۶/۶	۱۲/۳	۰/۷۵	۰/۴۱	۰/۴۹	۰/۷۱	۰/۹	۰/۲۳	۳۶/۰۰	۲۹/۰۰	۳۵/۰۰	۰/۳۹	-۲۷/۶
A.6	۲۸۴۱	۱/۶۶	۳/۲۱	۰/۵۱	۳۷۱	۴۲۸	۸۰	۰/۶۴															
A.7	۲۸۵۱	۰/۶	۱/۹۶	۰/۲۷	۲۰۷	۴۳۶	۱۹	۰/۹۶															
A.8	۲۸۵۸/۹	۰/۲	۰/۴	۰/۲۷	۶۸	۴۳۵	۴۶	۰/۵۹	۳۶/۵۹	۳۹/۲۴	۱۱/۵۷	۱۲/۴۸	۰/۷۹	۰/۴۴	۰/۴۵	۰/۶۵	۱/۰۵	۰/۱۷	۲۹/۹۴	۱۴/۴۴	۵۵/۶۷	۰/۳۸	-۲۸/۱
B.1	۲۷۶۰	۰/۰۷	۰/۱۹	۰/۳۶	۱۵۶	۴۳۹	۱۲۴	۰/۲۵	۳۸/۰۳	۳۸/۲۲	۲۲/۷۴	trace	۰/۴۹	۰/۳۴	۰/۳۸	۰/۸	۱/۱	۰/۱۷	۲۳/۲۸	۳۸/۵	۳۸/۱۲	۰/۴۵	-۲۷/۸
B.2	۲۷۶۵/۳	۰/۱۴	۰/۱۲	۰/۱۲	۶۳	۴۳۶	۶۳	۰/۱۹															
B.3	۲۷۸۴/۵	۰/۱۸	۰/۱۸	۰/۰۷	۱۲۰	۴۳۸	۴۷	۰/۱۵	۴۵/۸۴	۳۳/۶۴	۲۰/۰۵	trace	۱	۰/۵۱	۰/۳۸	۰/۷۸	۱	۰/۴	۲۵/۰۳	۳۳/۷۴	۴۱/۲۲	۰/۴۸	-۲۸
B.4	۲۸۰۶/۵	۰/۱۲	۰/۰۳	۰/۴۴	۱۸	۴۲۷	۲۵۹	۰/۱۷															
B.5	۲۸۲۰/۰	۰/۱۲	۰/۰۳	۰/۰۸	۲۹	۴۳۲	۸۹	۰/۰۹															
B.6	۲۸۲۶	۰/۰۹	۰/۰۸	۰/۰۵	۸۹	۴۲۹	۵۶	۰/۰۹															
B.7	۲۸۴۲/۵	۰/۱۷	۰/۱۲	۰/۱۹	۸۶	۴۳۵	۱۳۶	۰/۱۴	۳۲/۰۷	۳۶/۸۴	۳۱/۰۸	trace	۰/۷۱	۰/۳۸	۰/۴۶	۰/۷۴	۰/۹	۰/۳	۲۶/۸۸	۳۱/۶۸	۴۱/۴۲	۰/۴۷	-۲۸/۶
B.8	۲۸۷۴/۵	۰/۱	۰/۰۴	۰/۳۲	۲۵	۴۳۳	۲۱۲	۰/۱۵	۳۰/۹	۳۷/۸۶	۳۲/۰۳	trace	۰/۷۹	۰/۴۴	۰/۴۵	۰/۷۹	۱/۲	۰/۳۸	۳۰/۷۱	۱۳/۲۴	۲۶/۵	۰/۴۷	-۲۸/۱

پیوست ۱- جدول مربوط به نتایج حاصل از تجزیه های پیرو لیزر راک-اول، شیمیایی و ایزوتوبی



پیوست ۲- طیف های حاصل از کروماتوگرافی گازی و کروماتوگرافی گازی- طیف سنجی جرمی برش های اشیاع
 الف) چگونگی توزیع برخی از ترکیبات اشیاع حاصل از تجزیه کروماتوگرافی گازی برای نمونه های تهیه شده از چاه های A و B
 ب) برخی از طیف های حاصل از روش GC-MS برای بیومارکرهای هویان ها (هوپانوگرام ($m/z=191$) در نمونه های تهیه شده از چاه های A و B
 ج) برخی از طیف های حاصل از روش GC-MS برای بیومارکرهای استران ها (استرانوگرام ($m/z=217$) در نمونه های تهیه شده از چاه های A و B

کتابنگاری

آلی، ج.، ۱۳۸۵- ژئوشیمی مخازن گازی گروه دهرم در میدان پارس جنوبی با نگرش خاص بر منشأ H_2S ، رساله دکتری رشته زمین‌شناسی گرایش رسوب‌شناسی و سنگ رسوبی، دانشگاه تهران.

References

- Aali, J., Rahimpour-Bonab, H. & Kamali, M. R., 2006- Geochemistry and origin of the world's largest gas field from Persian Gulf, Iran, Journal of Petroleum Science and Engineering, Vol. 50, pp. 161-175.
- Bernard, B., Brooks, J. M., Sackett, W. M., 1978- Light hydrocarbons in recent Texas continental shelf and slope sediments. J. Geophys. Res. 83, 4053- 4061.
- Berner, U., Faber, E., (Emperical), 1996- Carbon isotope/ maturity relationships for gases from algal kerogens and terrigenous organic matter, based on dry, open- system pyrolysis. Org. Gheochem. 24, 947-955.
- Bordenave, M. L. & Burwood, R., 1990- Source rock disturbance and Maturation in the Zagros orogenic belt, provenance of the Asmari and Bangestane accumulations. Organic Geochemistry, Vol. 16, pp.369-387.
- Bordenave, M. L., 2002- Gas prospective areas in the Zagros domain of Iran and in the Gulf Iranian Waters. AAPG Annual Meeting, March 10-13, Houston, Texas, 10pp.
- Chung, H. M., Gormly, J. R., Squires, R. M., 1988- Origin of gaseous hydrocarbons in subsurface environments: theoretical considerations of carbon isotope distribution. In: Schoell M. (Ed), Origin of Methane in the earth. Chemical Geology, vol. 71, pp. 97-103.
- Chung, H. M., Rooney, M. A., Toon, M. B., Claypool, G. E., 1992- Carbon isotope composition of marine crude oil. AAPG, V.V, pp. 904-924.
- Hung, W. Y. & Meinchein, W. G., 1979- Sterols as ecological indicators, geochemical et cosmochemicaActa. 43, P. 739-745.
- Hunt, J. M., 1996- Petroleum geochemistry and geology: San Fransisco, W. H. Freeman, 473 p
- Kamali, M. R. & Rezaee, M. R., 2003- Burial history reconstruction and thermal modeling at Kuh-e Mond, SW Iran, J. Pet. Geol., Vol. 26, No. 4, pp. 451-464.
- Konert, G., Afif, A. M., AL-Hajari, S. A. & Droste, H., 2001- Paleozoic stratigraphy and hydrocarbon habitat of the Arabian Plate. GeoArabia, Vol. 6, No. 3, pp.407-442.
- Mahmoud, M. D., Vaslet, D. & Husseini, M. I., 1992- The Lower Silurian Qalibah Formation of Saudi Arabia: an important hydrocarbon source rock. AAPG Bulletin, Vol. 76, pp. 1491-1506.
- Milner, P., 1998- Source rock distribution and thermal maturity in the Southern Arabian Peninsula. GeoArabia, Vol. 3, No. 3, pp. 339-356.
- Peters, K. E. & Moldowen, J. M., (eds) 1993- The biomarker guide: Interpreting molecular fossils in petroleum and ancient sediments. Prentice-Hall, Englewood Cliffs, 363p.
- Sofer, Z., 1984- Stable carbon isotope composition of crude oils: Application to source depositional environments and petroleum alteration. AAPG Bulletion, 68, 31-49.
- Tissot, B. P. & Welte, D. H., 1984- Petroleum Formation and Occurrence: (2 nd ed.) Heidelberg, Springer Verlog, 538 p.
- Virgone, A. & Murat, B., 1999- Geological Model Sythesis Permo-Triassic from South Pars Field, Iran (SP-1, SP-4 and SP-6 Wells), Total finaelf, Total South Pars, 52 p.
- www.petropars.com

Determination of Non-Related Residual Oil (Bitumen) Present in Kangan Formation with Gas and Condensate in this Reservoir (South Pars Field)

A. Rajabi-Harsini^{1*}

¹Islamic Azad University, North Tehran Branch, Tehran, Iran..

Received: 2008 December 19 Accepted: 2009 April 29

Abstract

Silurian shales (Sarchahan Formation), with high volume of organic matter, are the major source rock of Dehram Group reservoir in South Pars Gas Field. Residual oil (bitumen) were seen on some parts of Kangan Formation core. According to some reports, Lower Triassic (Kangan Formation) sediments is a possible source rock, for Kangan reservoir contents (gas and condensate). Recent geochemical study on tar and asphaltic oil of Kangan Formation (not reservoir contents), shows that these oily materials were produced from shaly and shaly-limestone layers of Kangan Formation, but due to low TOC content, poor source rock potential, and low maturity level (late diagenesis) of Kangan, this Formation is incapable of production of huge amount of gas and condensate. It seems that the produced hydrocarbons from shaly and limestone layers of Kangan Formatin, has no relation with hydrocarbons generated from Silurian shales.

Keywords: Sarchahan Formation, Kangan Formation, Residual oil, Reservoir contents, Geochemical properties.

For Persian Version see pages 127 to 134

*Corresponding author: A. Rajabi-Harsini; E-mail: alirezarajabi39@yahoo.com

Fluid Pressure and the Lack of Chloritoid in Metapelites: Implications from Hamedan Area, Sanandaj- Sirjan Zone, Iran

A. A. Baharifar^{1*}

¹ Geology Department, Faculty of Science, PNU (Payame Noor University), Abhar, Iran

Received: 2008 November 15 Accepted: 2009 May 04

Abstract

Chloritoid as one of the common metamorphic mineral in low to medium grade metapelites, is absent in metapelite rocks of Hamedan area. Comparing with geochemical limitations for Chloritoid appearance in metapelites, whole rock composition of the area is suitable for Chloritoid formation. Since P, T and X are in appropriate range for Chloritoid, the role of fluid could be important. Microscopic investigations show that all metapelite rocks are in equilibrium with graphite and fluid composition is combination of CO₂ and H₂O. Based on estimated P and T, highest portion of H₂O in the fluid, could be 0.9. Although this is highest approximation, it can conclude that for Chloritoid appearance, XH₂O in fluid must be more than 0.9. Since in the Hamedan area staurolite is widespread and Chloritoid is absent - considering almost same composition between chloritoid and staurolite - the composition of fluid is more important. There are many doubts in geochemical limitations for Chloritoid appearance. Considering the results of this study and in the case of attention to fluid composition, geochemical limitations will change and Chloritoid could appear in many rocks, as its higher temperature equivalent, staurolite.

Key words: Chloritoid, Whole rock composition, Fluid pressure, Metapelites, Hamedan

For Persian Version see pages 135 to 140

* Corresponding author: A. A. Baharifar ; E-mail: Baharifar@gmail.com